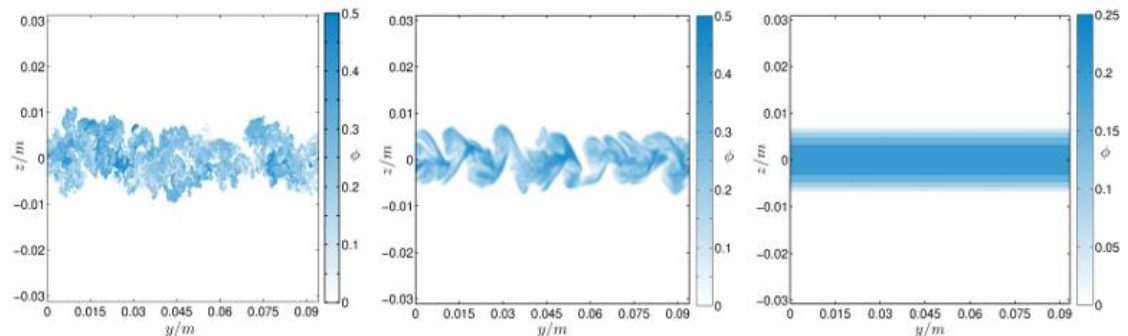
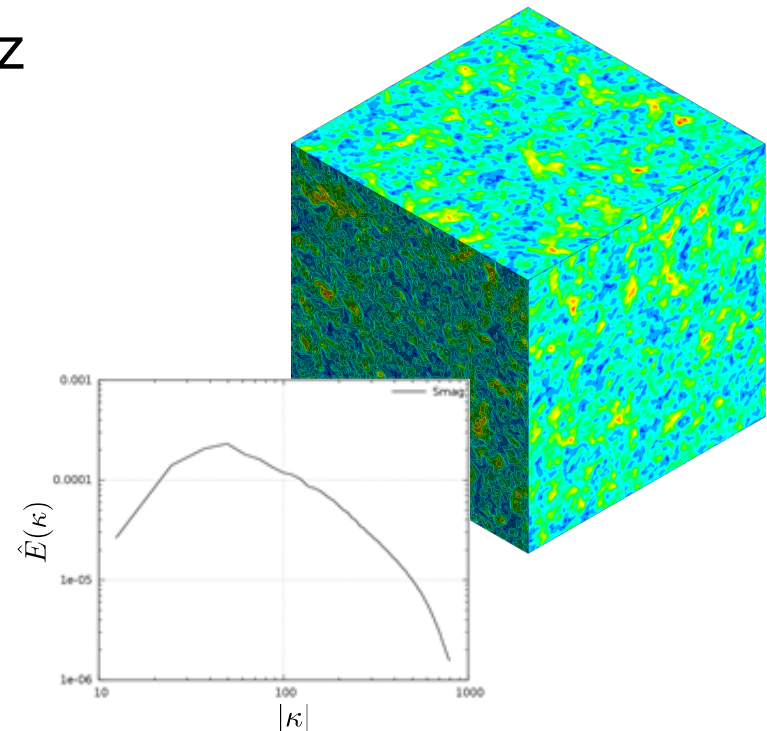


- ▶ Einführung/ Phänomenologie turbulenter Strömungen
- ▶ Statistische Betrachtungsweise
(Reynolds-gemittelte Navier-Stokes Gleichungen)
→ Behandlung von Schließungsansätzen
- ▶ **Spektrale Sichtweise der Turbulenz**
- ▶ Grobstruktursimulation (Large Eddy Simulation, LES)



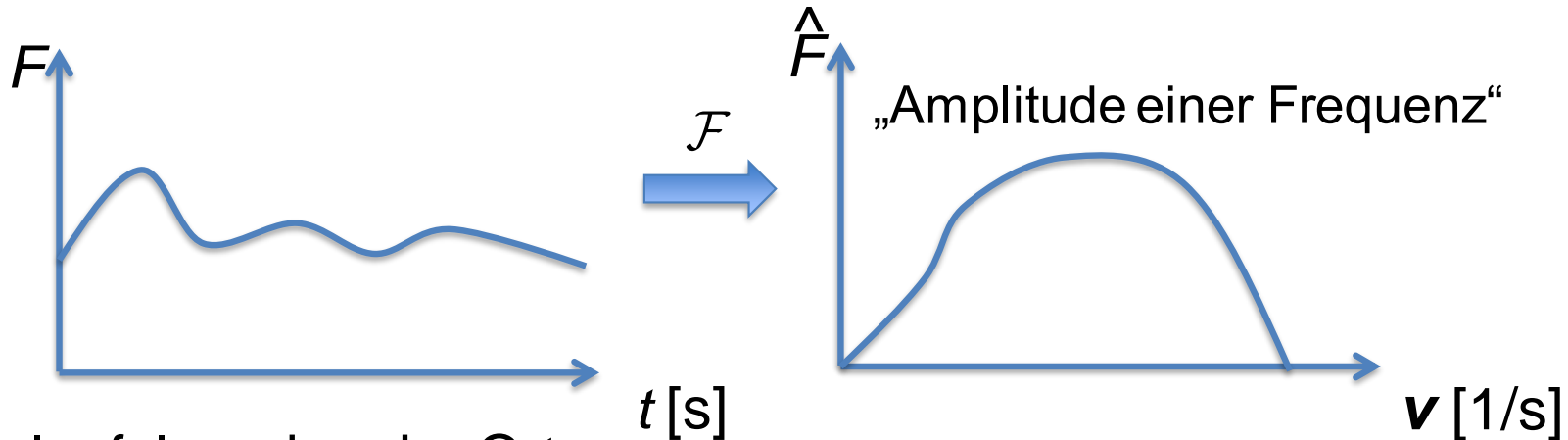
- 8.0 Rückblick letzte Vorlesung und 3D Fourierraum
- 8.1 Transformierte Gleichungen
- 8.2 Eigenschaften der Turbulenz
- 8.3 Quantifizierung der Turbulenz
- 8.4 Lösung im Fourierraum





8.0 Rückblick letzte Vorlesung und 3D Fourierraum

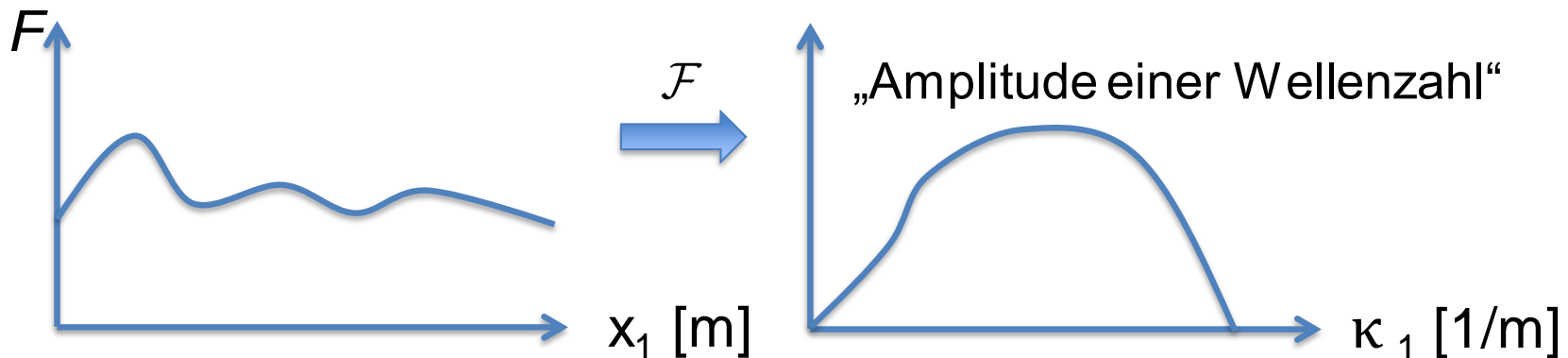
- Bisher Zeit als Koordinate:



- Im folgenden der Ort:

- 3D statt 1D

- Trotzdem analoges Vorgehen (hier für eine Dimension):



- Komplexe Darstellung der Fourier-Modi
(entlang der x_1 -Achse \rightarrow 1D-Raum) mittels Fourier-Reihe:

$$C_m = 2\kappa_0 \int_0^{1/\kappa_0} F(x) e^{-2\pi m i \kappa_0 x} dx$$

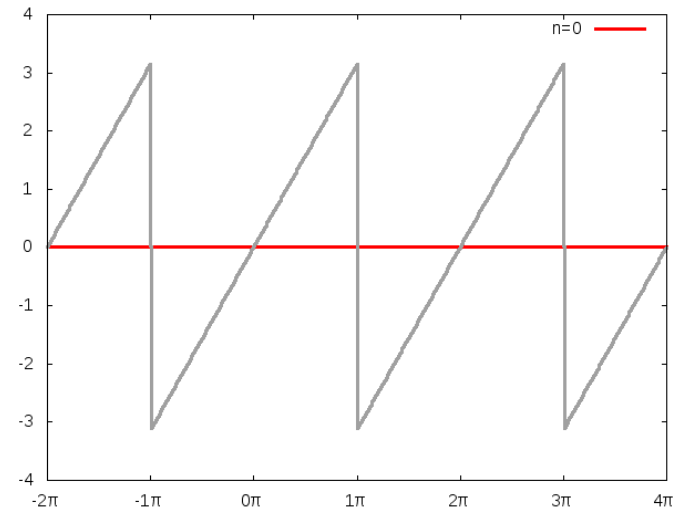
mit $e^{i\kappa_0 n_1 x_1} = \cos(\kappa_0 n_1 x_1) + i \sin(\kappa_0 n_1 x_1)$

- κ_0 ist die kleinste dargestellte Kreiswellenzahl innerhalb eines räumlichen Gebiets L :

$$\kappa_0 \equiv 2\pi/L$$

$$\text{Wellenzahl } \lambda \equiv 1/L$$

- n_1 ist eine Integer-Zahl mit deren Hilfe die verschiedenen Modi dargestellt werden.



- Von der Reihe nun zu der Transformation:

$$\hat{F}(\kappa) = \frac{1}{(2\pi)^n} \int_a^b K(\kappa, x) F(x) dx$$

mit:

- $F(x)$ Transformierbare Funktion im Originalraum
- $\hat{F}(\kappa)$ Bildfunktion
- $K(\kappa, x)$ Kernfunktion

- ▶ Fouriertransformation: $K = e^{-i\kappa x}$
- ▶ Transformieren von $F(x)$ aus physikalischem Raum in die kontinuierliche Bildfunktion $\hat{F}(\kappa)$ im Fourierraum

$$\hat{F}(\kappa) = \frac{1}{2\pi} \int_{-\infty}^{\infty} F(x) e^{-i\kappa x} dx$$

- ▶ Rücktransformiert in den Originalraum ebenfalls möglich:

$$F(x) = \int_{-\infty}^{\infty} \hat{F}(\kappa) e^{i\kappa x} d\kappa$$

- ▶ Kurz:

$$\hat{F}(\kappa) \rightleftharpoons F(x)$$

- ▶ Analog dazu werden auch die Fourier-Modi entlang der Koordinatenachsen x_2 und x_3 definiert

$$e^{i\kappa n_2 x_2} \quad \text{▶ und} \quad e^{i\kappa n_3 x_3}$$

- ▶ Die 3D-Fourier-Modi ergibt sich aus dem Produkt der 1D-Modi:

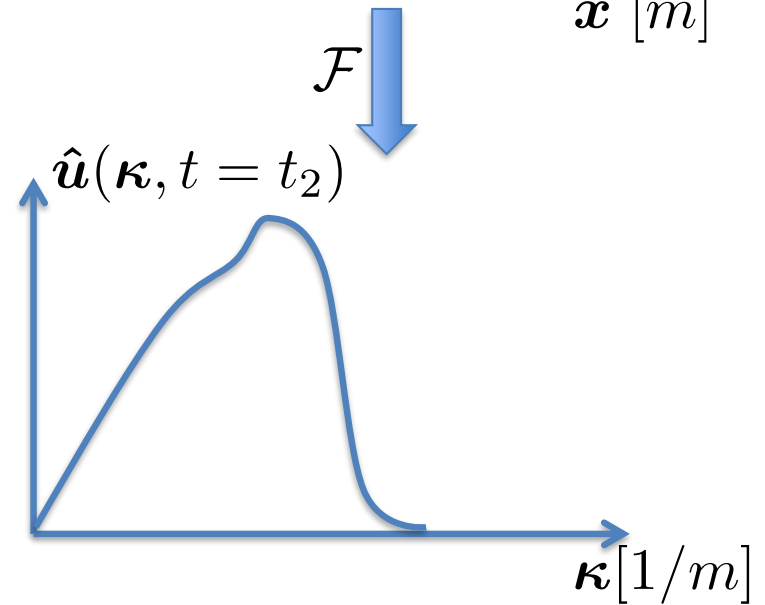
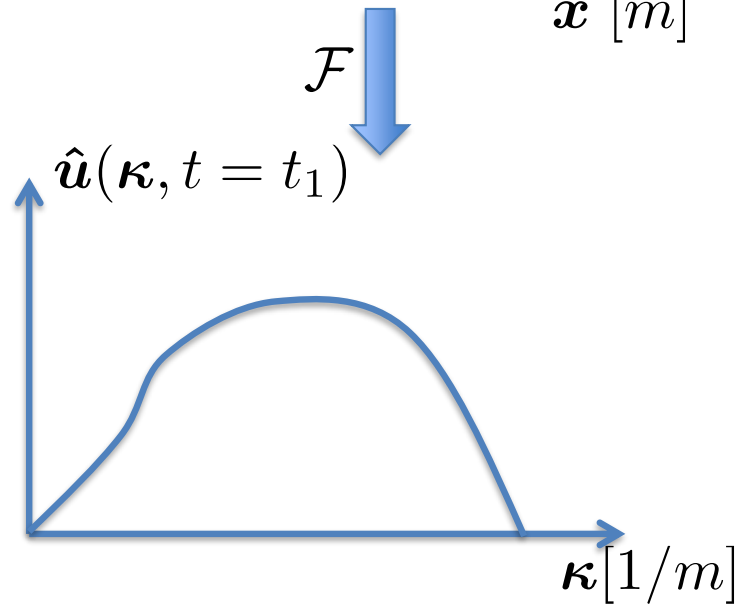
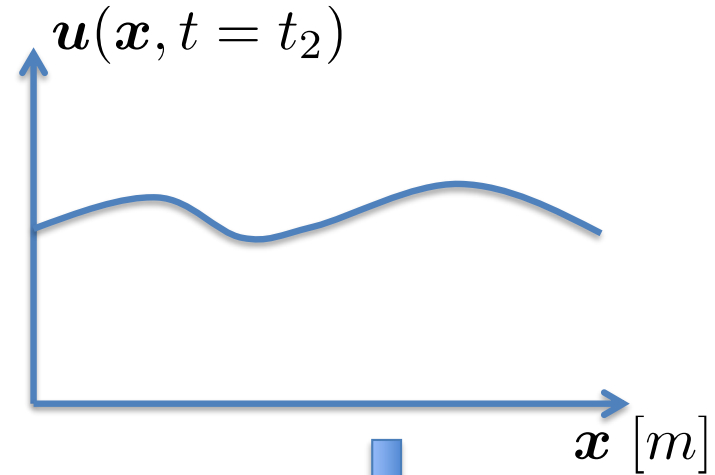
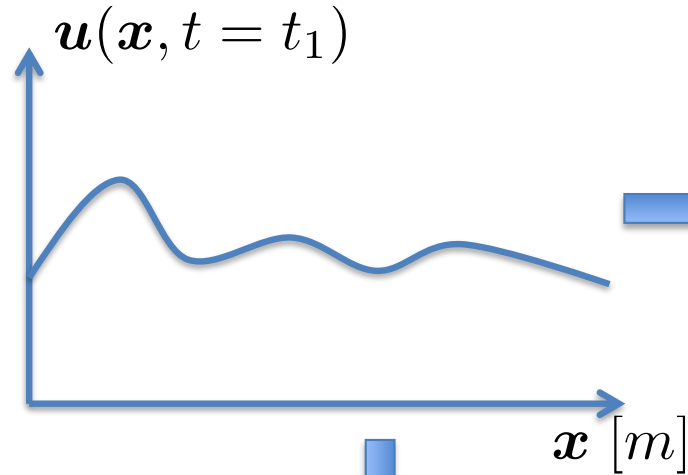
$$e^{i\boldsymbol{\kappa} \cdot \mathbf{x}} = e^{i\kappa_0 n_1 x_1} e^{i\kappa_0 n_2 x_2} e^{i\kappa_0 n_3 x_3}$$

- ▶ Mit dem 3D-Wellenvektor:

$$\boldsymbol{\kappa} = \kappa_0 \mathbf{n} = \kappa_0 (e_1 n_1 + e_2 n_2 + e_3 n_3)$$

- ▶ Jeder Fourier-Modus wird durch folgende Eigenschaften charakterisiert:

- ▶ Länge des Wellenvektors: $\kappa \equiv |\boldsymbol{\kappa}|$
- ▶ Richtung des Wellenvektors: $\mathbf{e} \equiv \boldsymbol{\kappa} / \kappa$



- Weiterhin gilt, dass die Modi orthonormal zueinander sind:

$$\langle e^{i\kappa \cdot x} e^{-i\kappa' \cdot x} \rangle_{\mathcal{L}} = \delta_{\kappa, \kappa'} \quad \text{mit} \quad \delta_{\kappa, \kappa'} = \begin{cases} 1, & \text{falls } \kappa = \kappa' \\ 0, & \text{falls } \kappa \neq \kappa' \end{cases}$$

- Die allgemeine Form der 3D-Fouriertransformation schreibt sich wie folgt:

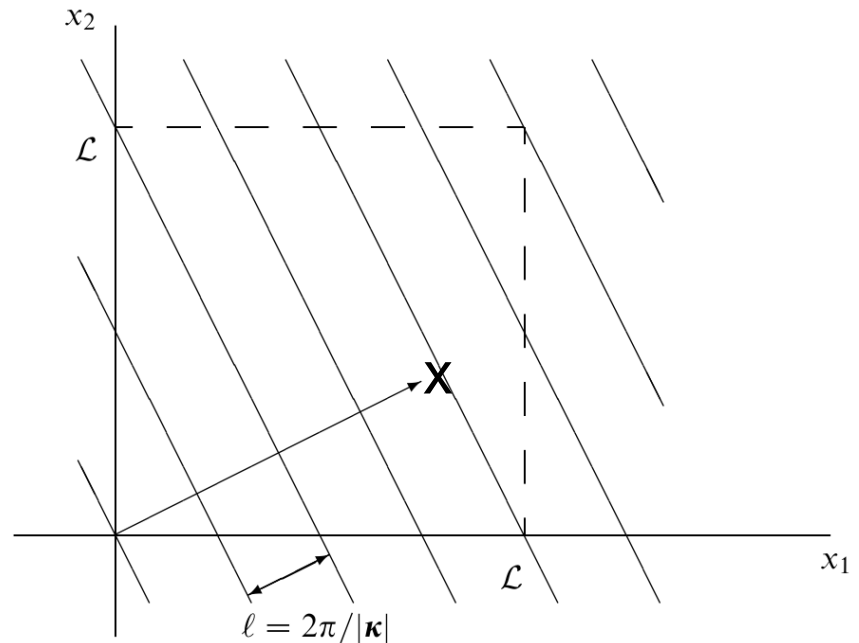
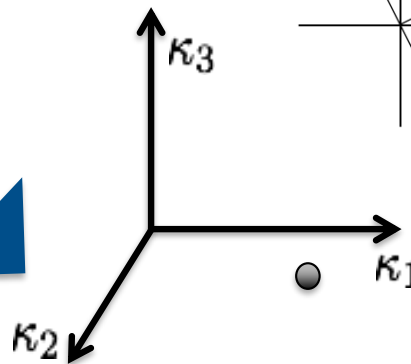
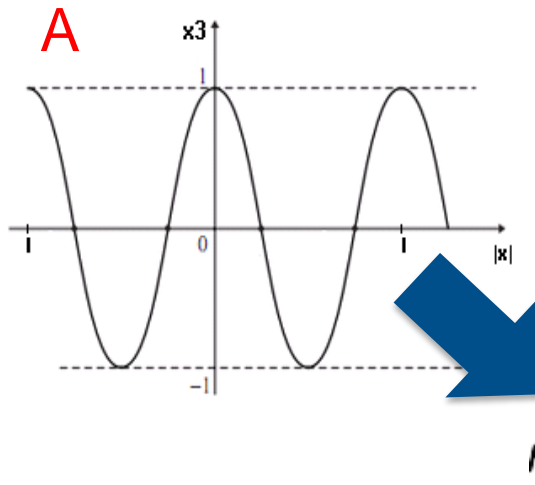
$$\mathcal{F}\{g(\mathbf{x})\} = \frac{1}{\mathcal{L}^3} \int_0^{\mathcal{L}} \int_0^{\mathcal{L}} \int_0^{\mathcal{L}} g(\mathbf{x}) e^{-i\kappa \cdot \mathbf{x}} dx_1 dx_2 dx_3$$

- Beispiel: Fourier-Modus im physikalischen (3D-)Raum

$$(n_1, n_2, n_3) = (4, 2, 0)$$

- Darstellung des Realteiles
- Gestrichelte Linie zeigt

$$\operatorname{Re}\{e^{i\kappa x}\} = 1$$

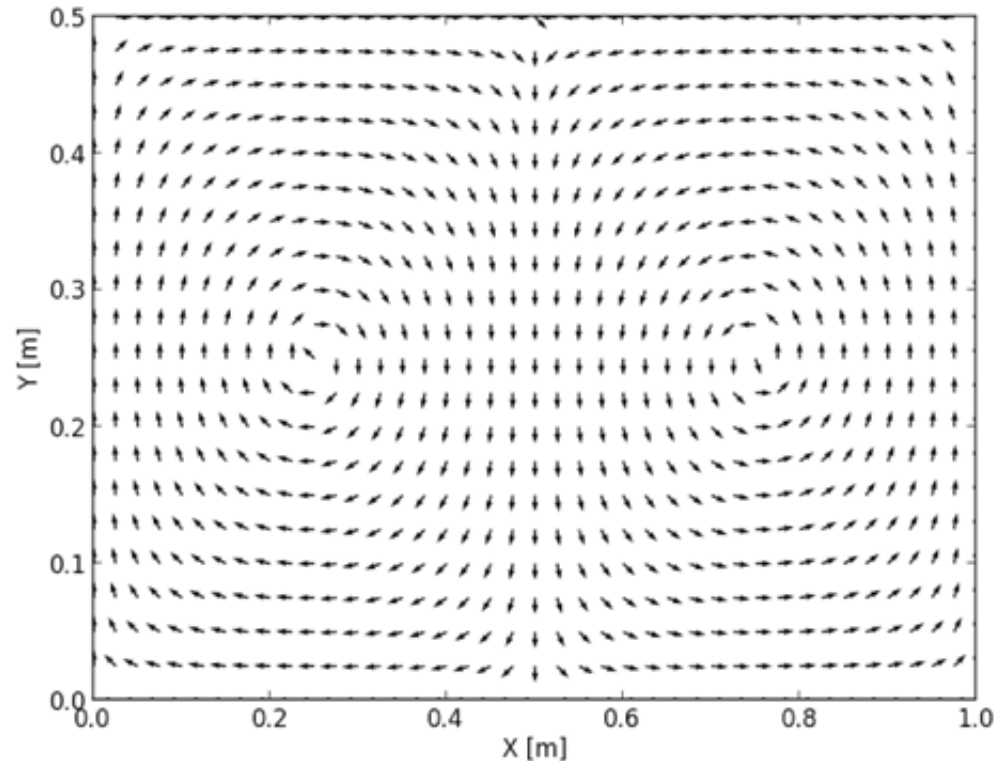


► Analog: Rechnung eines Taylor-Green Wirbelfelds

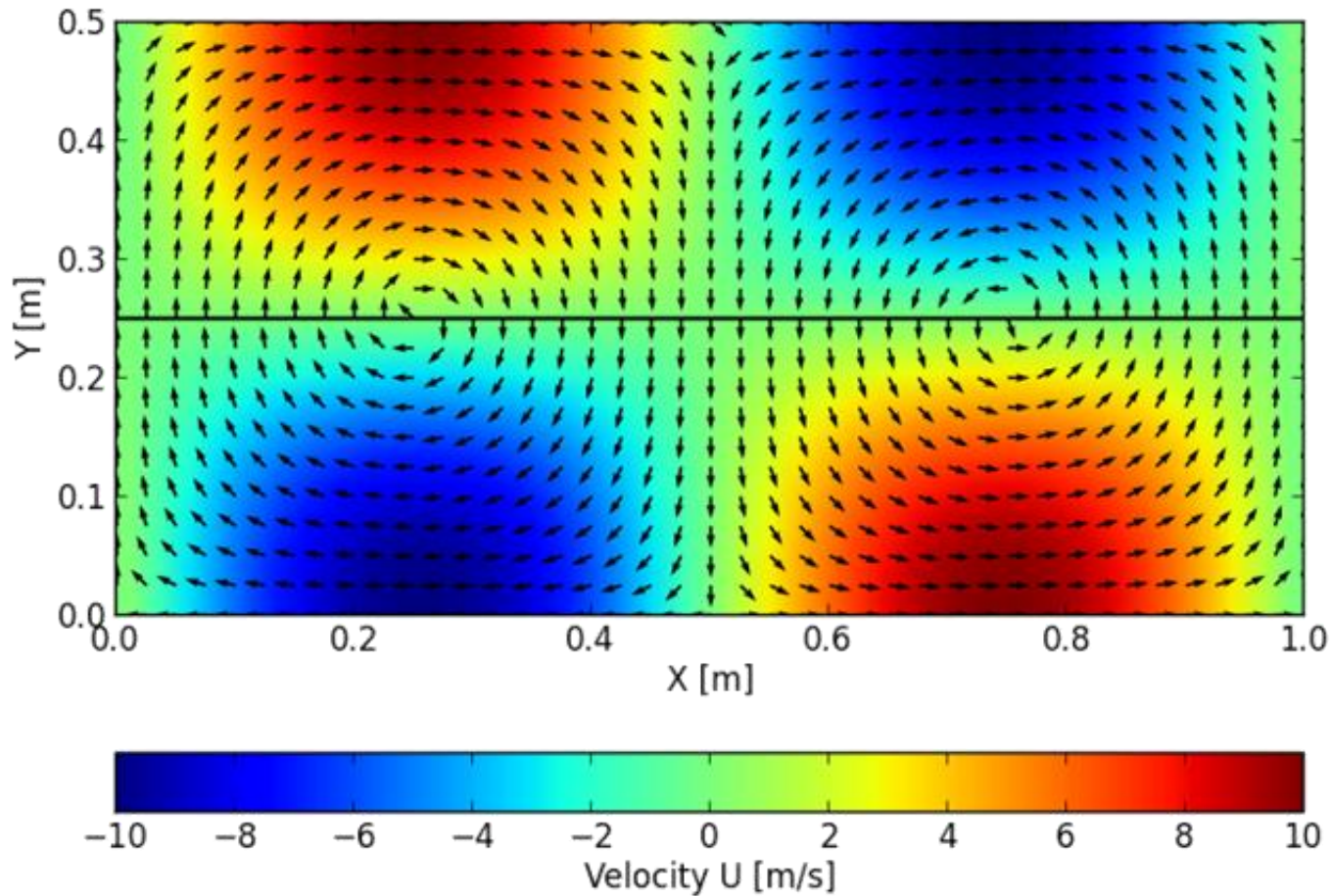
Definition:

$$U(X, Y) = A \cdot \cos(a(X - c_x)) \cdot \sin(b(Y - c_y))$$

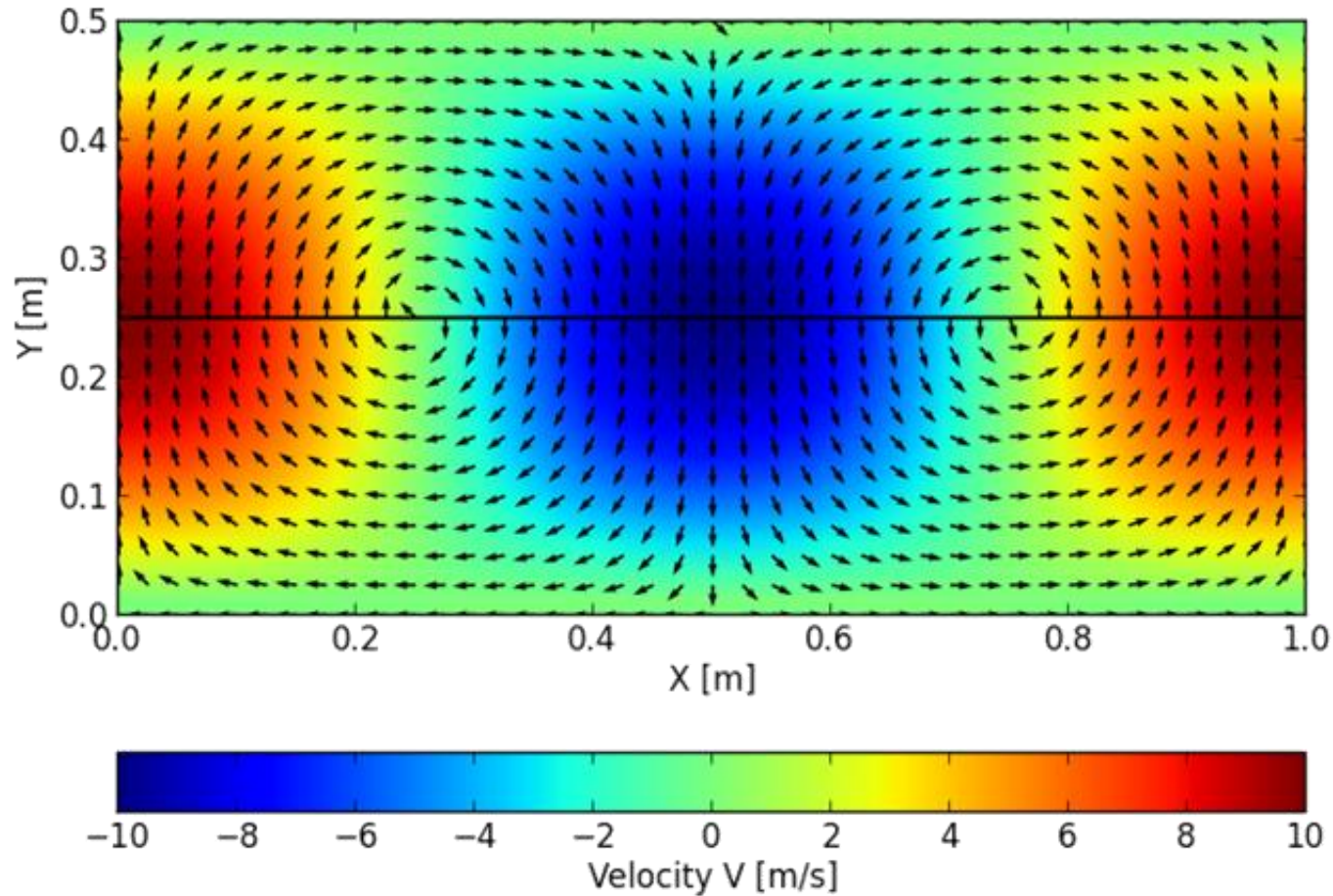
$$V(X, Y) = B \cdot \sin(a(X - c_x)) \cdot \cos(b(Y - c_y))$$



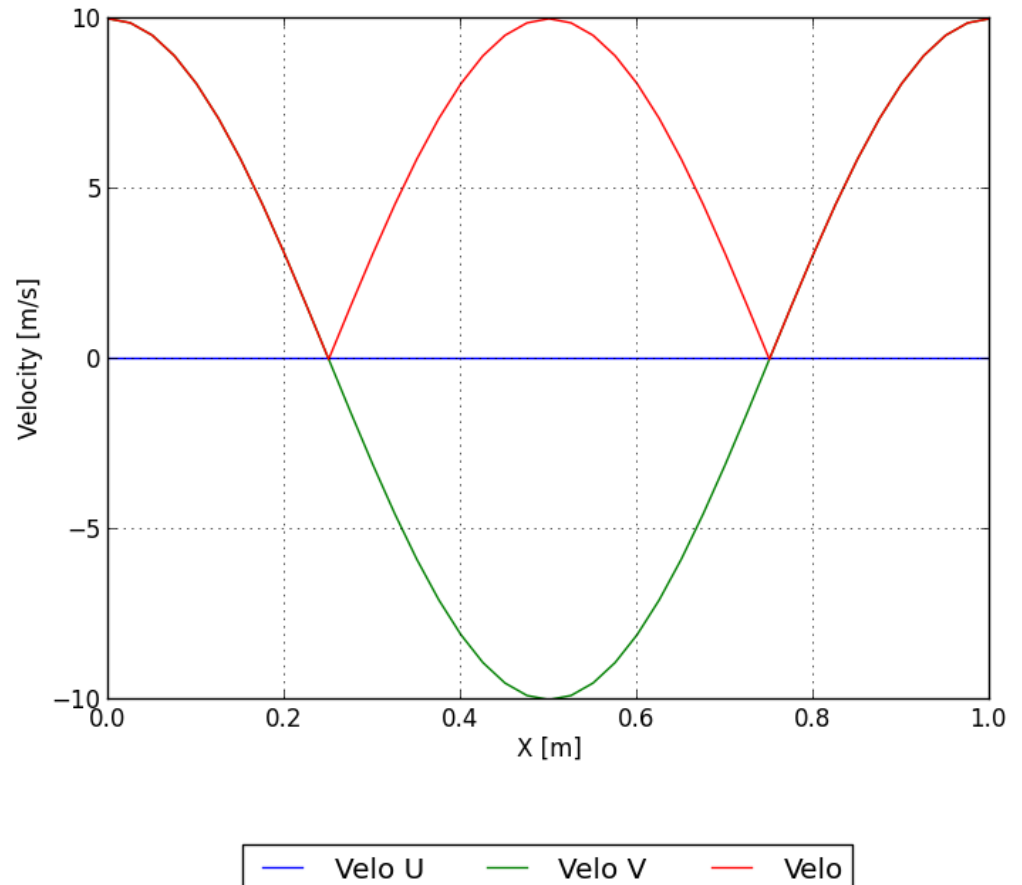
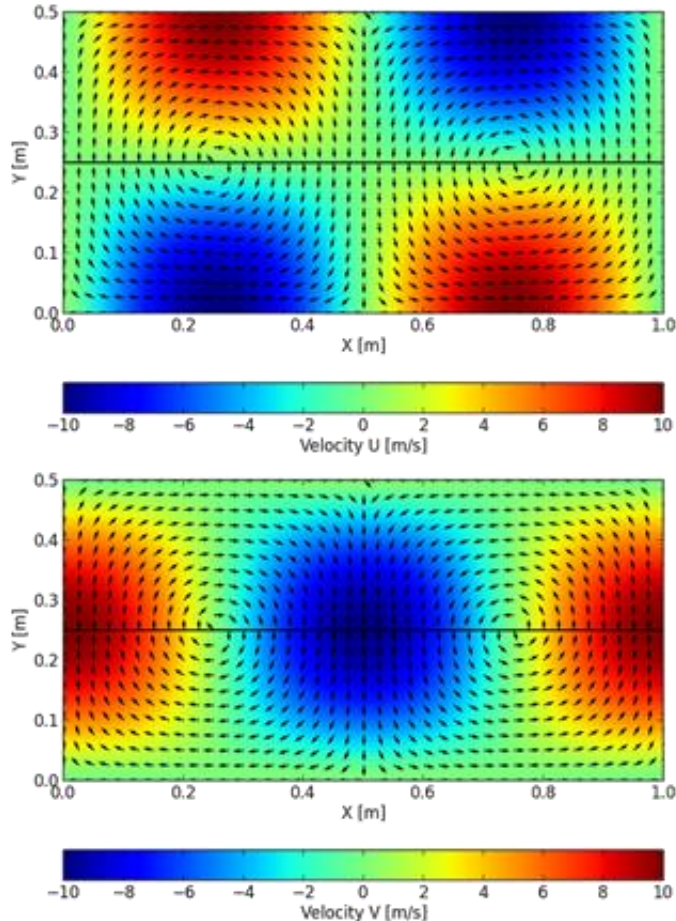
- Analog: Rechnung eines Taylor-Green Wirbelfelds



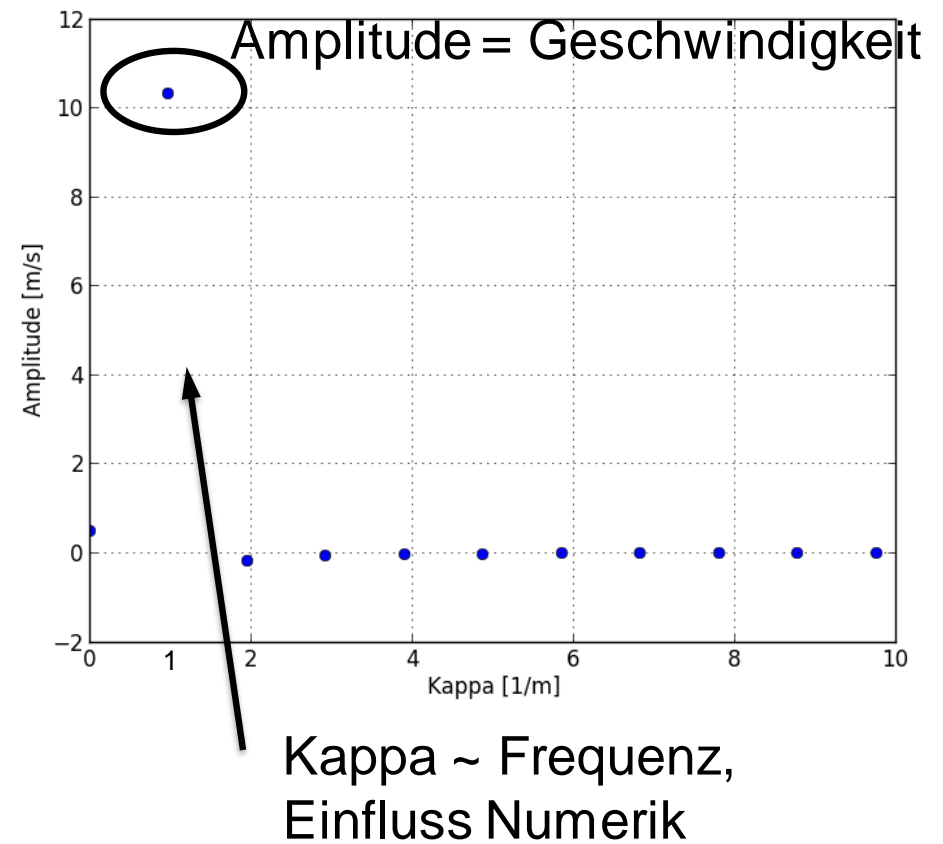
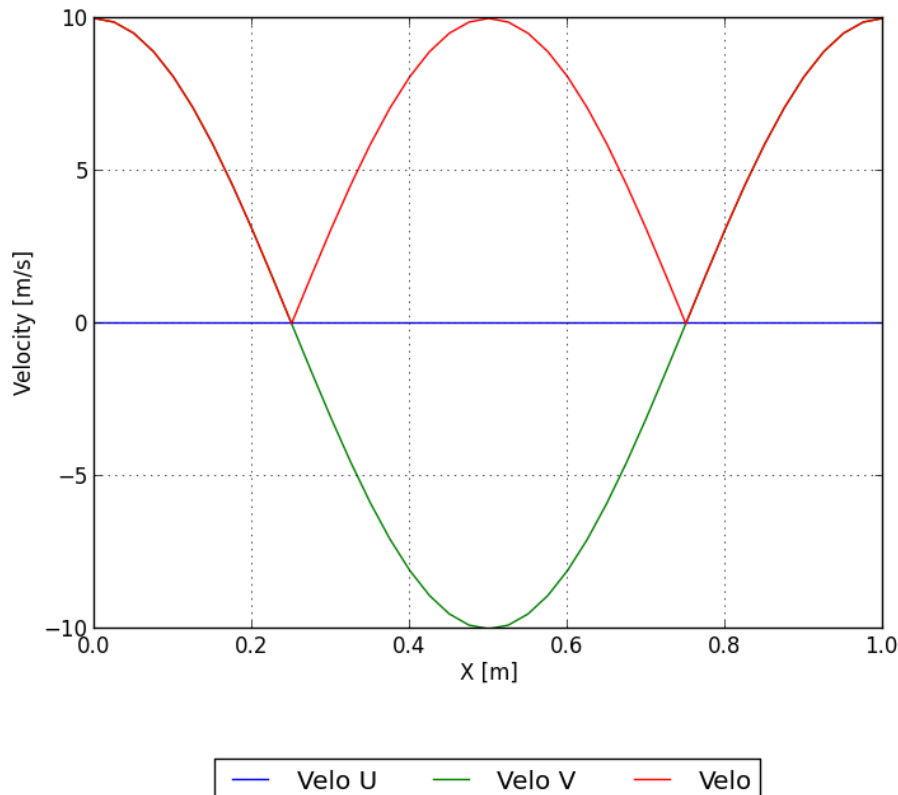
- Analog: Rechnung eines Taylor-Green Wirbelfelds



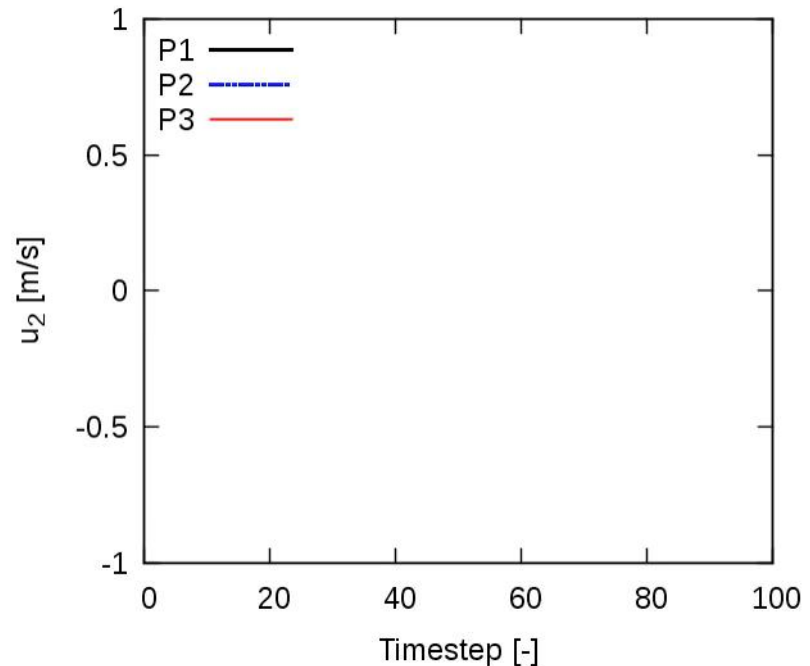
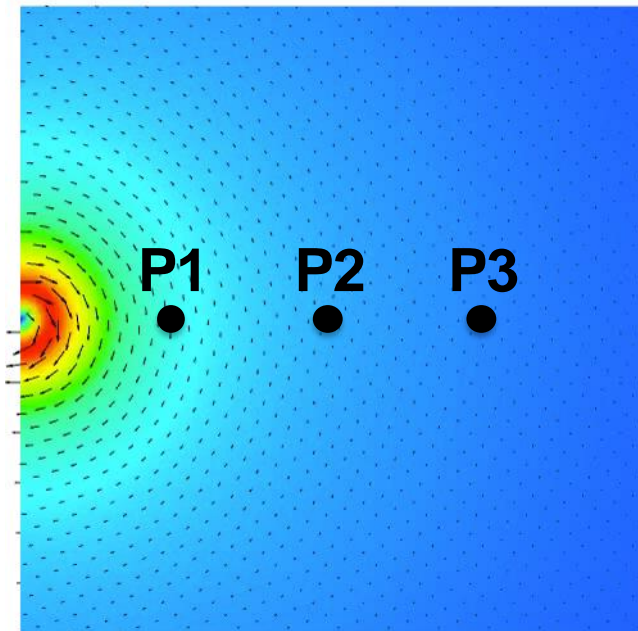
► Analog: Rechnung eines Taylor-Green Wirbelfelds



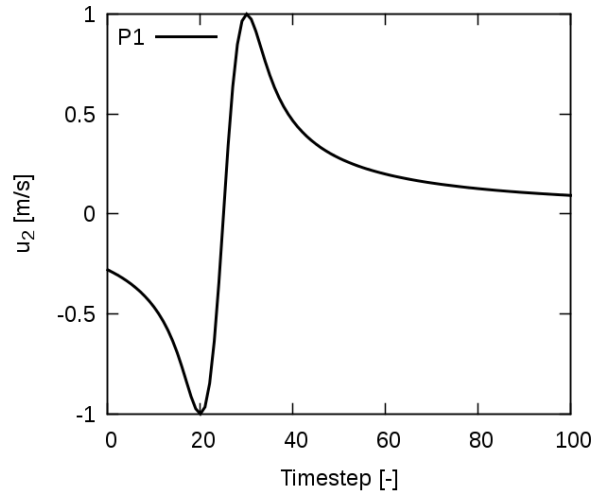
- Analog: numerische Rechnung und Auswertung eines Taylor-Green Wirbelfelds:



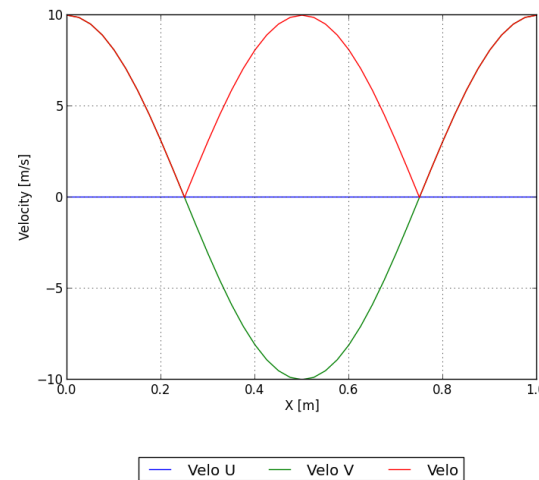
- ▶ Erfassung von Längenskalen möglich
- ▶ Dazu folgendes einfaches Experiment (Lamb-Oseen-Vortex):
 - ▶ Wirbelstruktur wird konvektiv transportiert
 - ▶ Messung von u_2 an den Punkten P1, P2 und P3



zeitliche Betrachtung
eines örtlich fixierten
Punktes



örtliche Betrachtung
des Signals für einen
fixierten Zeitpunkt

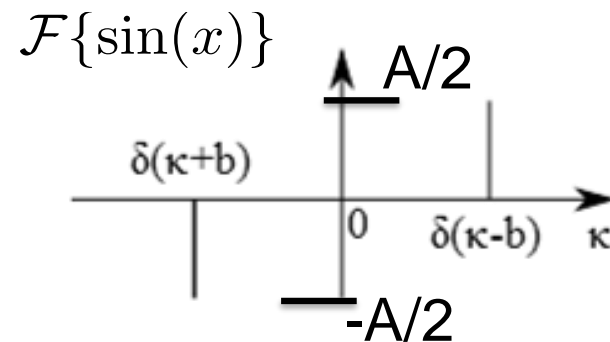
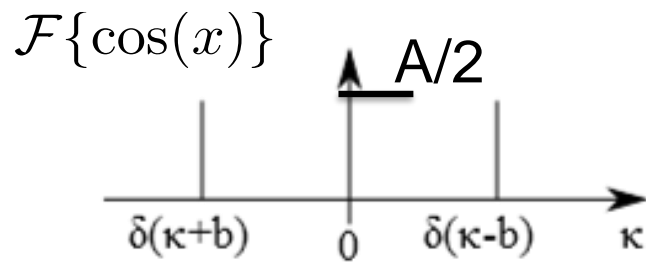


- Wirbel können mit sin bzw. cos dargestellt werden
- Die Überlagerung eines breiten Spektrums von Wirbelstrukturen, wie in einer turbulenten Strömung, kann durch die Überlagerung eines Spektrums an Sinus/Kosinuswellen reproduziert werden

- Analog: Rechnung eines Taylor-Green Wirbelfelds:

$$\begin{aligned}\hat{u}_2 &= \mathcal{F}\{u_2(x_1)\} = \mathcal{F}\{A \cdot \cos(2\pi b x_1)\} \\ &= \int_{-\infty}^{\infty} A \cdot \frac{e^{2\pi b x_1 i} + e^{-2\pi b x_1 i}}{2} e^{-2\pi i \kappa_1 x_1} dx_1 \\ &= \frac{A}{2} \cdot \int_{-\infty}^{\infty} e^{-2\pi i x_1 (\kappa_1 - b)} + e^{-2\pi i x_1 (\kappa_1 + b)} dx_1 \\ &= \frac{A}{2} [\delta(\kappa_1 - b) + \delta(\kappa_1 + b)]\end{aligned}$$

Einfluss: $b \rightarrow$ Peak in Diagramm verschiebt sich
 $A \rightarrow$ Wert des Peaks



8.1 Transformierte Gleichungen

Inkompressible Massenerhaltung im physikalischen Raum:

$$\nabla \cdot \mathbf{u} = 0$$

Inkompressible Massenerhaltung im Fourierraum:

$$\mathcal{F}_{\kappa} = \left\{ \frac{\partial u_j}{\partial x_j} \right\} = i\kappa_j \hat{u}_j = i\boldsymbol{\kappa} \cdot \hat{\mathbf{u}}$$

→ $\hat{\mathbf{u}}$ ist normal zum Wellenvektor $\boldsymbol{\kappa}$
(Skalarprodukt wird zu null)

- Ausgangspunkt:
Inkompressible Navier-Stokes Gleichung (NSG),

$$\underbrace{\frac{\partial u_j}{\partial t}}_{(1)} + \underbrace{\frac{\partial(u_j u_k)}{\partial x_k}}_{(2)} = \nu \underbrace{\frac{\partial^2 u_j}{\partial x_k \partial x_k}}_{(3)} - \underbrace{\frac{1}{\rho} \frac{\partial p}{\partial x_j}}_{(4)}$$

- Folgend: Transformation jedes Terms

- Notation: $\hat{u}_j(\boldsymbol{\kappa}, t) = \mathcal{F}_{\kappa}\{u_j(\mathbf{x}, t)\}$

$$(1): \quad \mathcal{F}_{\kappa} \left\{ \frac{\partial u_j}{\partial t} \right\} = \frac{d\hat{u}_j}{dt}$$

$$\underbrace{\frac{\partial u_j}{\partial t}}_{(1)} + \underbrace{\frac{\partial(u_j u_k)}{\partial x_k}}_{(2)} = \underbrace{\nu \frac{\partial^2 u_j}{\partial x_k \partial x_k}}_{(3)} - \underbrace{\frac{1}{\rho} \frac{\partial p}{\partial x_j}}_{(4)}$$

(3):

$$\mathcal{F}_\kappa \left\{ \nu \frac{\partial^2 u_j}{\partial x_k \partial x_k} \right\} = -\nu \kappa^2 \hat{u}_j$$

mit

$$\frac{d^n F(\mathbf{x})}{dx^n} \mapsto (i\kappa)^n \hat{F}(\kappa)$$

$$\underbrace{\frac{\partial u_j}{\partial t}}_{(1)} + \underbrace{\frac{\partial(u_j u_k)}{\partial x_k}}_{(2)} = \nu \underbrace{\frac{\partial^2 u_j}{\partial x_k \partial x_k}}_{(3)} - \underbrace{\frac{1}{\rho} \frac{\partial p}{\partial x_j}}_{(4)}$$

(4):

$$\mathcal{F}_\kappa \left\{ -\frac{1}{\rho} \frac{\partial p}{\partial x_j} \right\} = -i\kappa_j \hat{p}$$

wobei

$$\hat{p}(\boldsymbol{\kappa}, t) \equiv \mathcal{F}_\kappa \{ p(\mathbf{x}, t) / \rho \}$$

$$\underbrace{\frac{\partial u_j}{\partial t}}_{(1)} + \underbrace{\frac{\partial(u_j u_k)}{\partial x_k}}_{(2)} = \nu \underbrace{\frac{\partial^2 u_j}{\partial x_k \partial x_k}}_{(3)} - \underbrace{\frac{1}{\rho} \frac{\partial p}{\partial x_j}}_{(4)}$$

(2):

$$\begin{aligned} \hat{G}_j(\boldsymbol{\kappa}, t) &\equiv \mathcal{F}_k \left\{ \frac{\partial}{\partial x_k} (u_j u_k) \right\} = i\kappa_k \mathcal{F}_k \{ u_j u_k \} \\ &= i\kappa_k \mathcal{F}_k \left\{ \left(\sum_{\boldsymbol{\kappa}'} \hat{u}_j(\boldsymbol{\kappa}') e^{i\boldsymbol{\kappa}' \cdot \mathbf{x}} \right) \left(\sum_{\boldsymbol{\kappa}''} \hat{u}_k(\boldsymbol{\kappa}'') e^{i\boldsymbol{\kappa}'' \cdot \mathbf{x}} \right) \right\} \\ &= i\kappa_k \sum_{\boldsymbol{\kappa}'} \sum_{\boldsymbol{\kappa}''} \hat{u}_j(\boldsymbol{\kappa}') \hat{u}_k(\boldsymbol{\kappa}'') \langle e^{i(\boldsymbol{\kappa}' + \boldsymbol{\kappa}'') \cdot \mathbf{x}} e^{-i\boldsymbol{\kappa} \cdot \mathbf{x}} \rangle_{\mathcal{L}} \\ &= i\kappa_k \sum_{\boldsymbol{\kappa}'} \sum_{\boldsymbol{\kappa}''} \hat{u}_j(\boldsymbol{\kappa}') \hat{u}_k(\boldsymbol{\kappa}'') \delta_{\boldsymbol{\kappa}, \boldsymbol{\kappa}' + \boldsymbol{\kappa}''} \\ &= i\kappa_k \sum_{\boldsymbol{\kappa}'} \hat{u}_j(\boldsymbol{\kappa}') \hat{u}_k(\boldsymbol{\kappa} - \boldsymbol{\kappa}') \end{aligned}$$

Impulserhaltung im physikalischen Raum:

$$\underbrace{\frac{\partial u_j}{\partial t}}_{(1)} + \underbrace{\frac{\partial(u_j u_k)}{\partial x_k}}_{(2)} = \nu \underbrace{\frac{\partial^2 u_j}{\partial x_k \partial x_k}}_{(3)} - \underbrace{\frac{1}{\rho} \frac{\partial p}{\partial x_j}}_{(4)}$$

Impulserhaltung im Fourierraum:

$$\frac{d\hat{u}_j}{dt} + \nu \kappa^2 \hat{u}_j = -i \kappa_j \hat{p} - \hat{G}_j$$

Wir fassen die rechte Seite in einen Ausdruck zusammen:

$$\frac{d\hat{u}_j}{dt} + \nu \kappa^2 \hat{u}_j = \mathbf{A}_j \quad 1)$$

8.2 Eigenschaften der Turbulenz

► Rückblick Vorlesung 4:

→ Im Folgenden ausschließliche Betrachtung der Geschwindigkeitsfluktuationen $\langle \mathbf{u} \rangle = 0$

► Definition der TKE k im physikalischen Raum:

$$k = 1/2 \langle u_i u_i \rangle$$

► k -Gleichung wird aus Impulserhaltung gewonnen
Vorgehensweise im Fourierraum identisch

► Definition des Energieinhaltes eines Wellenvektors $\boldsymbol{\kappa}$:

$$\hat{E}(\boldsymbol{\kappa}, t) = \frac{1}{2} \langle \hat{u}_i^*(\boldsymbol{\kappa}, t) \hat{u}_i(\boldsymbol{\kappa}, t) \rangle$$

► Berücksichtigung aller Wellenlängen: $k = \int_0^\infty \hat{E}(\boldsymbol{\kappa}) d\boldsymbol{\kappa}$

► Herleitung der Budgetgleichung von $\hat{E}(\boldsymbol{\kappa}, t)$ aus der Impulsgleichung

- ▶ Im Folgenden ausschließliche Betrachtung der Geschwindigkeitsfluktuationen $\langle \mathbf{u} \rangle = 0$
- ▶ Kovarianz zweier Fourier-Geschwindigkeiten $\langle \hat{u}_i(\boldsymbol{\kappa}', t) \hat{u}_j(\boldsymbol{\kappa}, t) \rangle$ nur korreliert, wenn $\boldsymbol{\kappa}' = -\boldsymbol{\kappa}$

→ Fourier Korrelationstensor:
$$\begin{aligned} \hat{R}_{ij}(\boldsymbol{\kappa}, t) &\equiv \langle \hat{u}_i^*(\boldsymbol{\kappa}, t) \hat{u}_j(\boldsymbol{\kappa}, t) \rangle \\ &= \langle \hat{u}_i(-\boldsymbol{\kappa}, t) \hat{u}_j(\boldsymbol{\kappa}, t) \rangle \end{aligned}$$

- ▶ Korrelation zweier Geschwindigkeiten im Originalraum mit dem Abstandsvektor \mathbf{r} : $R_{ij}(\mathbf{r}, t) \equiv \langle u_i(\mathbf{x}, t) u_j(\mathbf{x} + \mathbf{r}, t) \rangle$

$$= \sum_{\boldsymbol{\kappa}} \hat{R}_{ij}(\boldsymbol{\kappa}, t) e^{i\boldsymbol{\kappa} \cdot \mathbf{r}}$$

- ▶ mit $\hat{R}_{ij}(\boldsymbol{\kappa}, t) = \mathcal{F}_{\boldsymbol{\kappa}} \{ R_{ij}(\mathbf{x}, t) \}$

- Korrelation zweier Geschwindigkeiten im Originalraum mit dem Abstandsvektor \mathbf{r} :

$$\begin{aligned} R_{ij}(\mathbf{r}, t) &\equiv \langle u_i(\mathbf{x}, t) u_j(\mathbf{x} + \mathbf{r}, t) \rangle \\ &= \sum_{\boldsymbol{\kappa}'} \hat{R}_{ij}(\boldsymbol{\kappa}, t) e^{i\boldsymbol{\kappa} \cdot \mathbf{r}} \end{aligned}$$

- Untersuchung lokaler Korrelationen ($|\mathbf{r}|=0$):

$$R_{ij}(0, t) = \langle u_i u_j \rangle = \sum_{\boldsymbol{\kappa}} \hat{R}_{ij}(\boldsymbol{\kappa}, t)$$

- Quantifiziert den Beitrag einer bestimmten Wellenlänge κ zum Reynoldsspannungstensor

Rückblick Vorlesung 4:

$$\rightarrow \langle \mathbf{u} \rangle = 0$$

- Definition der TKE k im physikalischen Raum:

$$k = \frac{1}{2} \langle u_i u_i \rangle$$

- k -Gleichung:

$$k(t) = \frac{1}{2} \langle u_i u_i \rangle = \frac{1}{2} \sum_{\kappa} \hat{R}_{ii}(\kappa, t)$$

- Mit der Definition des Energieinhaltes eines Wellenvektors κ :

$$\hat{E}(\kappa, t) = \frac{1}{2} \langle \hat{u}_i^*(\kappa, t) \hat{u}_i(\kappa, t) \rangle$$

Rückblick Vorlesung 4:

- Berücksichtigung aller Wellenlängen:

$$k(t) = \frac{1}{2} \langle u_i u_i \rangle = \sum_{\kappa} \frac{1}{2} \hat{R}_{ii}(\kappa, t) = \sum_{\kappa} \hat{E}(\kappa, t)$$

- Quantifiziert den Beitrag einer bestimmten Wellenlänge κ zur turbulenten kinetischen Energie
- Analog für die Dissipation ε : Definition der TKE k im physikalischen Raum:

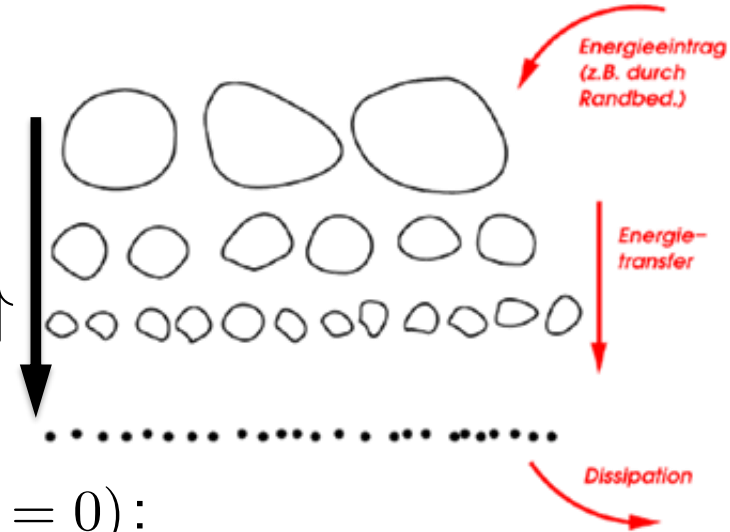
$$\begin{aligned} \varepsilon(t) &= -\nu \langle u_j \nabla^2 u_j \rangle = -\nu \lim_{\mathbf{r} \rightarrow 0} \frac{\partial^2}{\partial r_k \partial r_k} R_{jj}(\mathbf{r}, t) \\ &= -\nu \lim_{\mathbf{r} \rightarrow 0} \sum_{\kappa} e^{i\kappa \cdot \mathbf{r}} (-\kappa_k \kappa_k) \hat{R}_{jj}(\kappa, t) \\ &= \sum_{\kappa} 2\nu \kappa^2 \hat{E}(\kappa, t) \end{aligned}$$

k - Bilanzgleichung im Fourierraum ($\hat{U}_i = 0$):

(für einen spezifischen Wellenvektor κ)

$$\frac{d}{dt} \hat{E}(\kappa, t) = -2\nu \kappa^2 \hat{E}(\kappa, t) + \hat{T}(\kappa, t)$$

$|\kappa| \uparrow$



k - Bilanzgleichung im physikalischen Raum ($\hat{U}_i = 0$):

(für einen spezifischen Ort x)

$$\rho \frac{\partial k}{\partial t} = -\rho \varepsilon + \frac{\partial}{\partial x_j} \left[\mu \frac{\partial k}{\partial x_j} - \frac{1}{2} \overline{\rho u'_i u'_i u'_j} - \overline{p' u'_j} \right]$$

$$1) \partial_t \hat{E}(\kappa, t) = \partial_t (\hat{u}_k \hat{u}_k^*) = \hat{u}_k \partial_t \hat{u}_k^* + \hat{u}_k^* \partial_t \hat{u}_k$$

Physikalische Interpretation beider Größen

TKE im physikalischen Raum

$$k(\mathbf{x}, t)$$

- ▶ Inst. Geschwindigkeit ist eine Überlagerung aus allen lokalen Turbulenzstrukturen
- ▶ Keine Unterscheidung der Turbulenzstrukturengröße

→ Repräsentiert den Energieinhalt aller turbulenten Strukturen an einem Ort

TKE im Fourierraum

$$\hat{E}(\boldsymbol{\kappa}, t)$$

- ▶ Energie je Wellenvektor
- ▶ Wellenzahl entspricht einer Längenskala der Turbulenz im physikalischen Raum

→ Repräsentiert den Energieinhalt bestimmter turbulenten Längenskalen (im physikalischen Raum)

Information über die zeitliche Entwicklung der Energie

$$\frac{\partial k(\mathbf{x}, t)}{\partial t} \iff \frac{d}{dt} \hat{E}(\boldsymbol{\kappa}, t)$$

- ▶ aller lokalen Strukturen
- ▶ eines spezifischen Wellenvektors

Information über die Dissipation

$$\varepsilon \iff 2\nu\boldsymbol{\kappa}^2 \hat{E}(\boldsymbol{\kappa}, t)$$

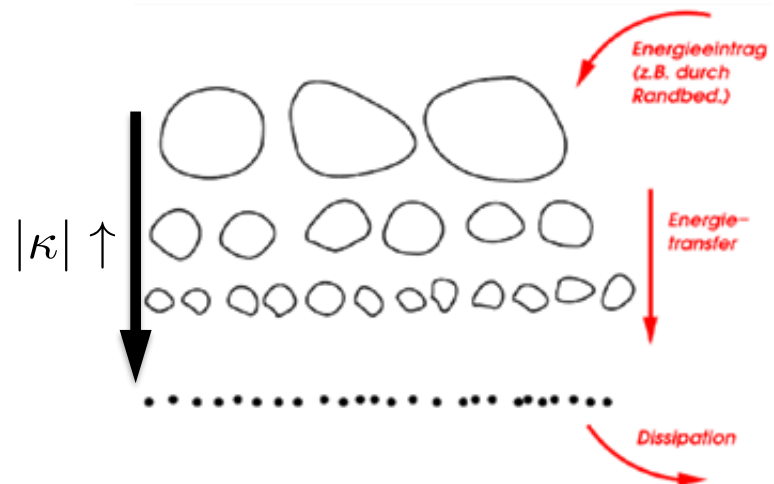
- ▶ **Lokale** Dissipation der Energie
- ▶ Dissipation eines spez. Wellenvektors
- ▶ Dissipation vorwiegend auf großen Wellenzahlen

Zur Transportgleichung im Fourierraum:

$$\hat{T}(\boldsymbol{\kappa}, t) = \mathbf{A}_j \hat{u}_j^* (\boldsymbol{\kappa}, t) = f \left(\underbrace{\sum_{\boldsymbol{\kappa}'} \hat{u}_j(\boldsymbol{\kappa}) \hat{u}_k^*(\boldsymbol{\kappa}') \hat{u}_l^*(\boldsymbol{\kappa} - \boldsymbol{\kappa}')}_{(1)} \right)^{1)}$$

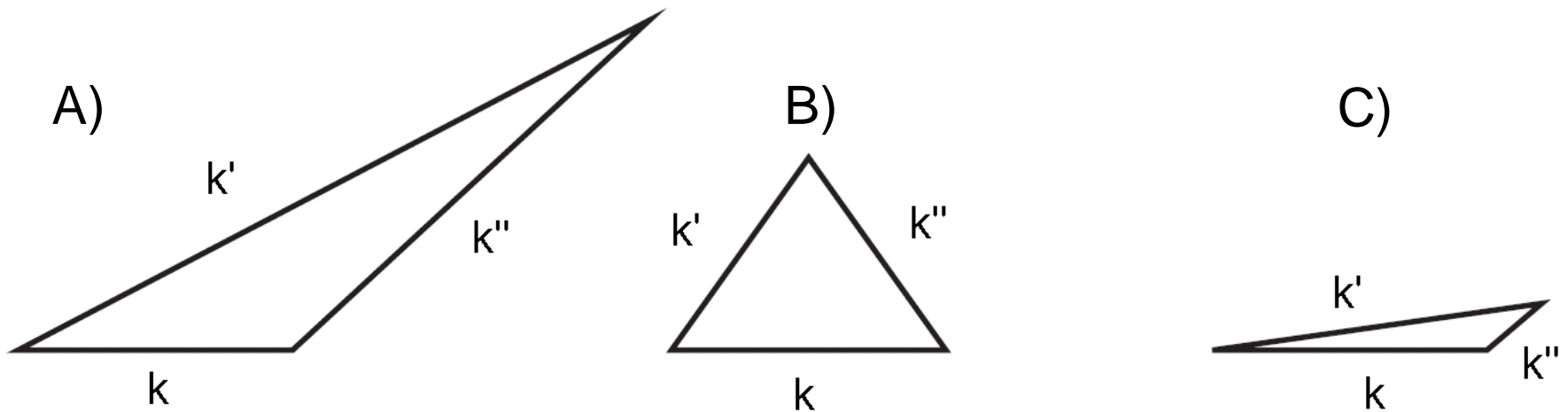
(1) Nichtlinearer Energietransfer → **Triadische Interaktion**

- ▶ Transportterm verteilt Energie zwischen den verschiedenen Modi
- ▶ Interaktion zwischen $\boldsymbol{\kappa}$, $\boldsymbol{\kappa}'$ und $\boldsymbol{\kappa}'' = (\boldsymbol{\kappa} - \boldsymbol{\kappa}')$
- ▶ Es gilt: $\boldsymbol{\kappa} = \boldsymbol{\kappa}'$ und $\boldsymbol{\kappa}''$



Wie ist diese triadische Interaktion zu verstehen?

Betrachten Wellenvektor κ :



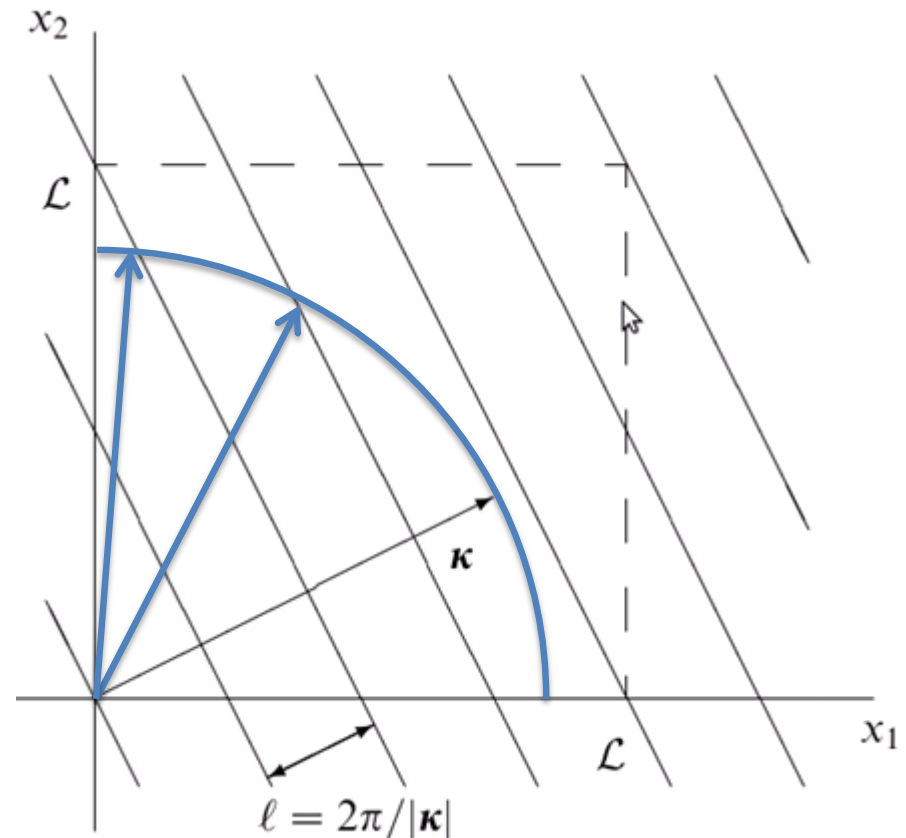
- a) Interaktion mit zwei kleineren Strukturen (k' und k'')
- b) Interaktion mit zwei ähnlich großen Strukturen (k' und k'')
- c) Interaktion mit einer ähnlich großen (k') und einer größeren Struktur (k'')

8.3 Quantifizierung der Turbulenz

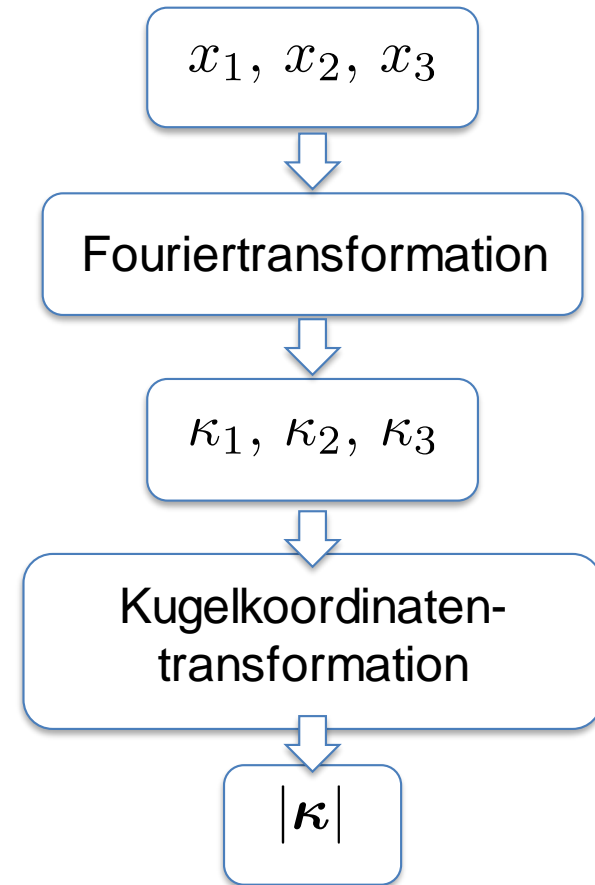
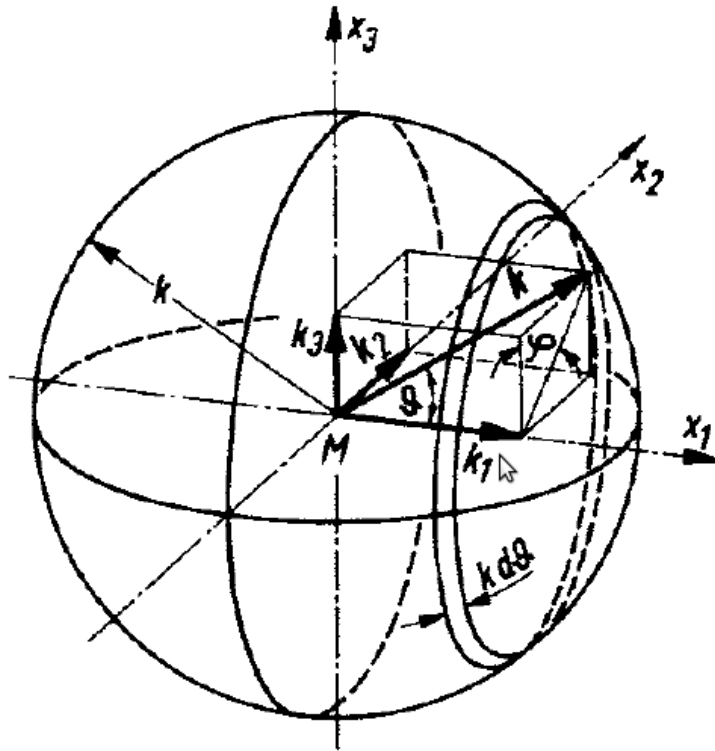
Beispiel: Fouriertransformiertes 2D-Geschwindigkeitsfeld

Zu jeder Wellenzahl $|\kappa|$ gibt es unendlich viele Wellenvektoren mit unterschiedlichen Richtungen (Ausgehend vom Ursprung enden alle auf den dargestellten Viertelkreis)

Summation der Energie aller Wellenvektoren einer Wellenzahl (Betrag)



Identisches Vorgehen für den 3D-Raum, wobei nun Wellenvektoren auf einer Kugelschale aufsummiert (bzw. integriert) werden müssen.

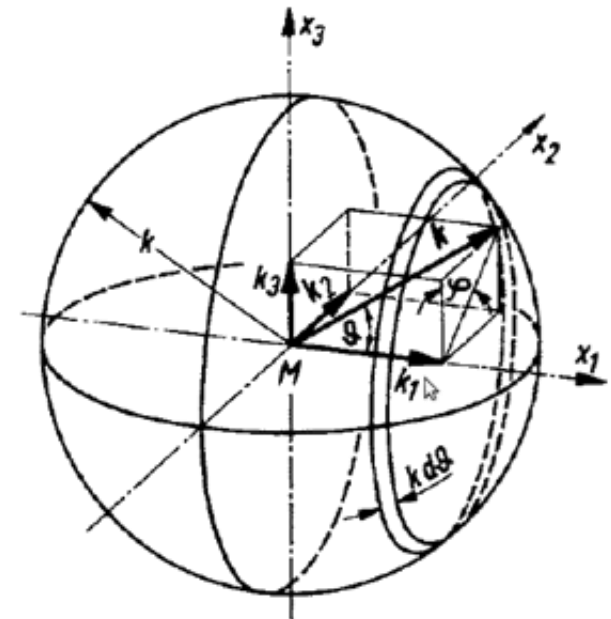
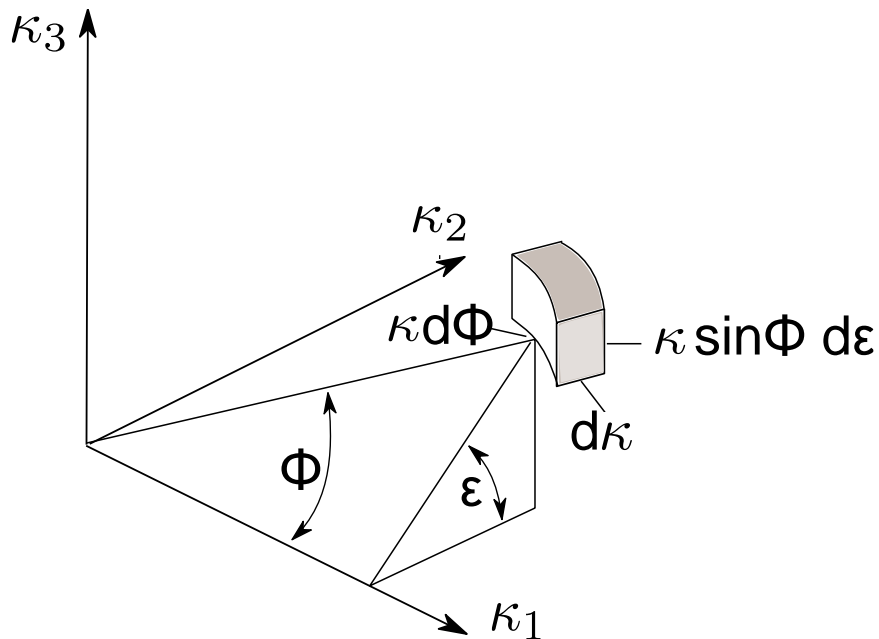


Betrag des Wellenraumvektors: $|\kappa| = \sqrt{\kappa_1^2 + \kappa_2^2 + \kappa_3^2}$

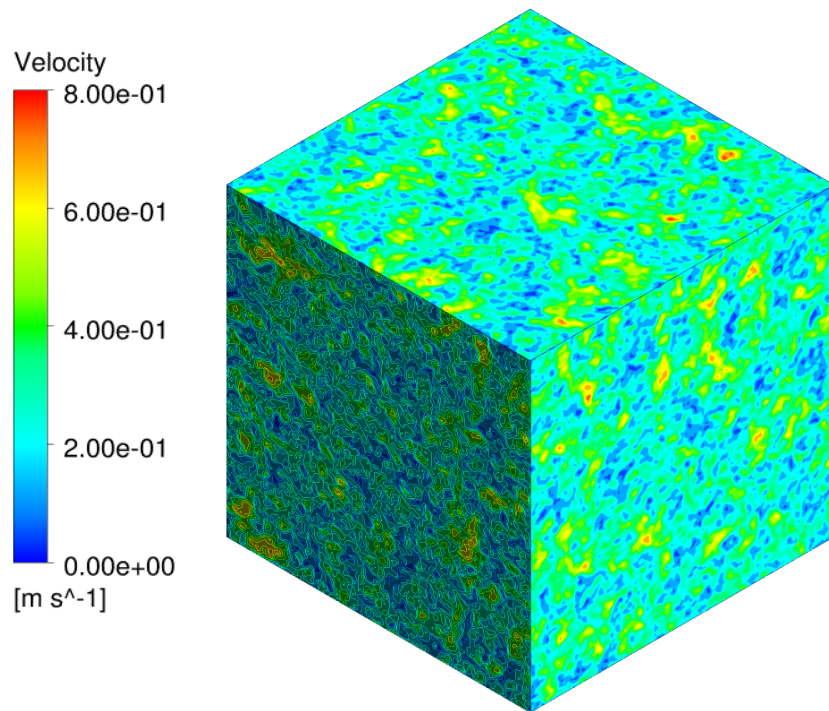
$$d\kappa = (|\kappa| d\phi) \cdot (|\kappa| \sin \phi d\varepsilon) \cdot d|\kappa| = \kappa^2 d|\kappa| \sin \phi d\phi d\varepsilon$$

Integration über gesamte Kugelschale: $\int_0^\pi \sin \phi d\phi \int_0^{2\pi} d\varepsilon = 4\pi$

$$d\kappa = 4\pi\kappa^2 d|\kappa|$$



Berechnung des Energiespektrums basierend auf dem (bereits aus Vorlesung 4) bekannten Turbulenzfeld!



Rechengebiet:

- Kantenlänge: 0,508 m
- Gitter: 128^3 (ca. 2 Mio.) Elemente

Turbulenzmodell:

- Smagorinsky

Diskretisierungsschema:

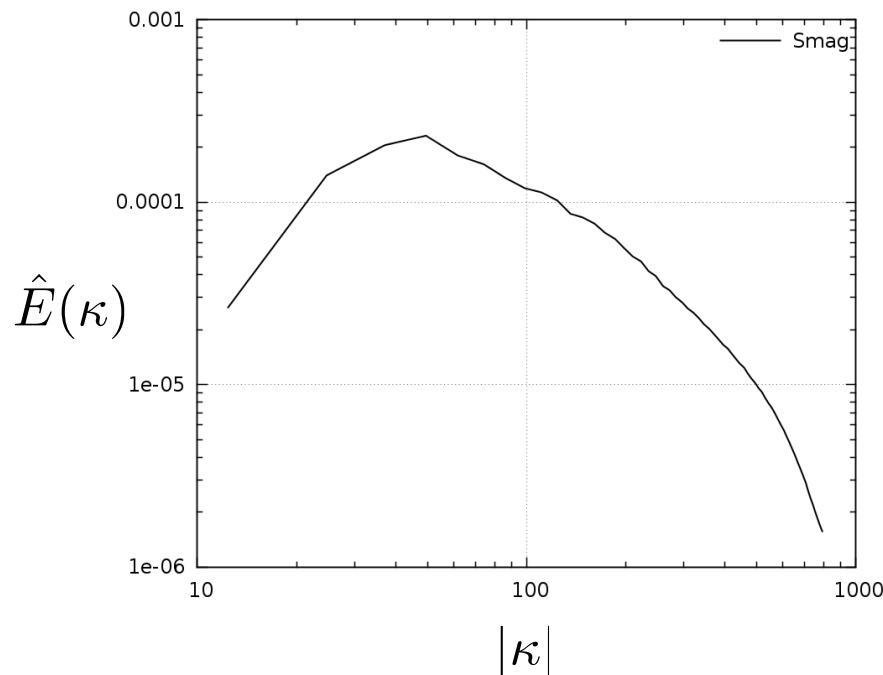
- Zentral-Differenzen-Schema

Turbulenzgrößen:

- u_{rms} : 0,222 m/s
- l_t : 0,024 m

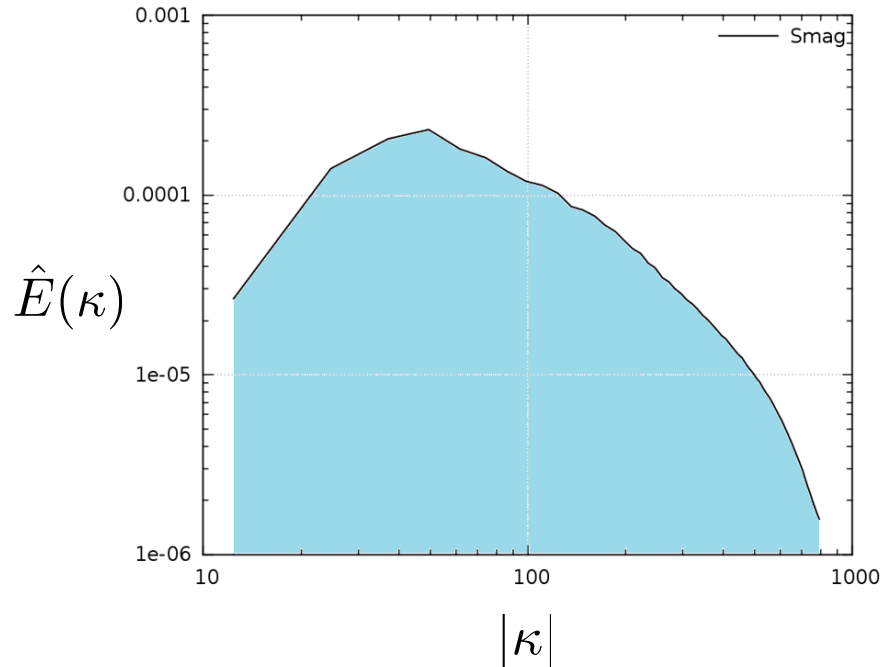
- ▶ Nach Summation/Integration kann der Energieinhalt über die Wellenzahl (richtungsunabhängig!) aufgetragen werden.
- ▶ Für große Reynolds-Zahlen ergibt sich folgendes *Energiespektrum*:

$$\hat{E}(\boldsymbol{\kappa}, t) = \frac{1}{2} \langle \hat{u}_i^*(\boldsymbol{\kappa}, t) \hat{u}_i(\boldsymbol{\kappa}, t) \rangle = \frac{1}{2} \hat{R}_{ii}(\boldsymbol{\kappa}, t)$$



$$R_{ij}(0, t) = \sum_{\boldsymbol{\kappa}} \hat{R}_{ij}(\boldsymbol{\kappa}, t)$$

Im Folgenden sollen die Eigenschaften des Energiespektrums (für den Fall homogener isotroper Turbulenz) betrachtet werden.

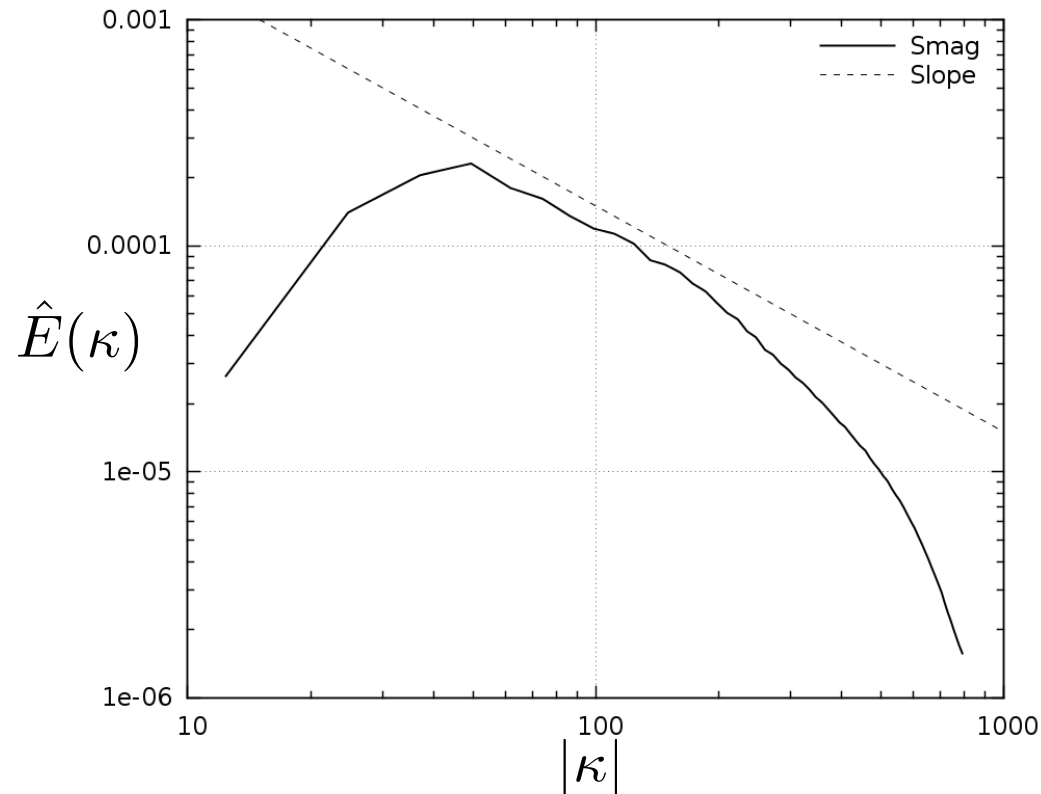


$$R_{ij}(0, t) = \sum_{\kappa} \hat{R}_{ij}(\kappa, t)$$

Fläche unter dem Energiespektrum gibt die gesamte TKE im Feld an:

$$k(t) = \frac{1}{2} \langle u_i u_i \rangle = \sum_{\kappa} \frac{1}{2} \hat{R}_{ii}(\kappa, t) = \sum_{\kappa} \hat{E}(\kappa, t)$$

Die Gerade und das Energiespektrum lässt auf einen Potenzansatz schließen:



Ansatz für das Energiespektrum:

$$\hat{E}(\kappa) = A\kappa^{-p}$$

A : Konstante

p : Konstante (soll im folgenden abgeschätzt werden)

Betrachten die turbulente kinetische Energie im gesamten Gebiet (beginnend ab einer Wellenzahl κ):

$$k_{(\kappa, \infty)} \equiv \int_{\kappa}^{\infty} \hat{E}(\kappa') d\kappa' = \int_{\kappa}^{\infty} A\kappa'^{-p} d\kappa' = \frac{A}{p-1} \kappa^{-(p-1)}$$

Es muss gelten: $p > 1$ da Integral sonst divergiert (k muss aber kleiner werden für größere κ).

Betrachtung der Dissipation:

$$\varepsilon_{(0,\kappa)} \equiv \int_0^\kappa 2\nu\kappa'^2 \hat{E}(\kappa') d\kappa' = \int_0^\kappa 2\nu\kappa'^2 A\kappa'^{-p} d\kappa' = \frac{2\nu A}{3-p} \kappa^{(3-p)}$$

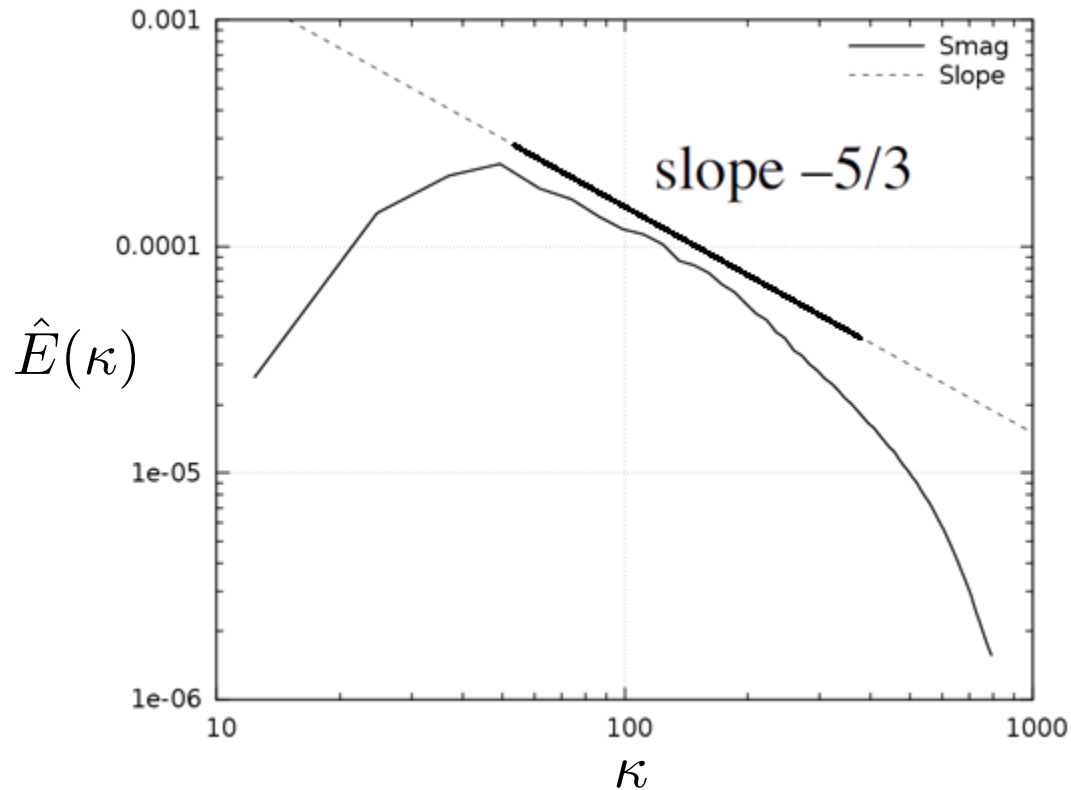
Es muss gelten: $p < 3$, sonst divergiert Integral im Bereich kleiner Wellenzahlen d.h. großer turbulenter Strukturen.

Für den Exponenten gilt also:

$$1 < p < 3$$

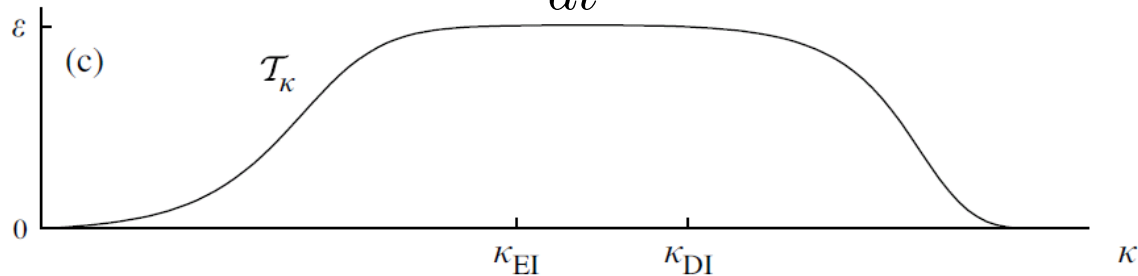
→ Ansatz: $p = 2$ (Mittelwert)

Tatsächlich wird für sehr große Reynolds-Zahlen (DNS & Exp) ein Exponent von $5/3$ bestätigt.

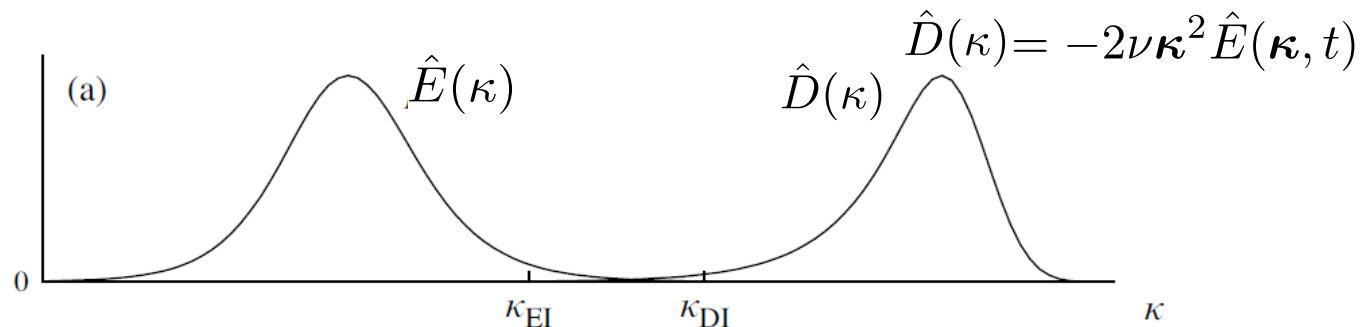


- Der “5/3”-Bereich stellt den Initialbereich dar.
- Nahezu nur turbulenter Transport (von großen zu kleinen Skalen) im Inertialbereich.

$$\frac{d}{dt}\hat{E}(\kappa, t) = -2\nu\kappa^2\hat{E}(\kappa, t) + \hat{T}(\kappa, t)$$



- Dissipation auf kleinen Skalen ($\sim \kappa^2$).





8.4 Lösung im Fourierraum

- Lösung der Gleichung, etwa im DNS Code:

$$\frac{d\hat{u}_j}{dt} + \nu \kappa^2 \hat{u}_j = -\hat{G}_j - i\kappa_j \hat{p}$$

- Druck als weitere Variable geführt → entfernen durch:
Gleichung oben $\cdot \kappa_j$:

$$\kappa_j \hat{G}_j = -i\kappa^2 \hat{p}$$

$$\hat{p} = \frac{\kappa_j \hat{G}_j}{-i\kappa^2} = \frac{i\kappa_j \hat{G}_j}{\kappa^2} = \frac{i\kappa_i \hat{G}_i}{\kappa^2}$$

- Druck in transformierte NSG einsetzen:

$$\frac{d\hat{u}_j}{dt} + \hat{G}_j = \frac{\kappa_i \kappa_j}{\kappa^2} \hat{G}_i - \nu \kappa^2 \hat{u}_j$$

- Weitere Vereinfachungen

$$\begin{aligned} \frac{d\hat{u}_j}{dt} &= \frac{\kappa_i \kappa_j}{\kappa^2} \hat{G}_i - \hat{G}_j - \nu \kappa^2 \hat{u}_j \\ &= \frac{\kappa_i \kappa_j}{\kappa^2} \hat{G}_i - \delta_{ij} \hat{G}_i - \nu \kappa^2 \hat{u}_j \\ &= \left(\frac{\kappa_i \kappa_j}{\kappa^2} - \delta_{ij} \right) \hat{G}_i - \nu \kappa^2 \hat{u}_j \end{aligned}$$

$$\frac{d\hat{u}_j}{dt} = P_{ij} \hat{G}_i - \nu \kappa^2 \hat{u}_j$$

$$\frac{d\hat{u}_j}{dt} = P_{ij}\hat{G}_i - \nu\kappa^2\hat{u}_j$$

- ▶ Ohne Transportterm \hat{G}_i ist die Lösung der Gleichung ein unabhängiges Abklingen:

$$\hat{u}(\kappa, t) = \hat{u}(\kappa, 0)e^{-\nu\kappa^2 t}$$

- ▶ Weitere Reduktion der Terme, dafür neue Fourier-Raum-Geschwindigkeit:

$$\tilde{u}_j = \hat{u}_j \exp(\nu\kappa^2 t)$$

$$\hat{u}_j = \tilde{u}_j \exp(-\nu\kappa^2 t)$$

Anwendung:

$$\frac{d\tilde{u}_j}{dt} \exp(-\nu\kappa^2 t) - \nu\kappa^2 \tilde{u}_j \exp(-\nu\kappa^2 t) = P_{ij}\hat{G}_i - \nu\kappa^2 \tilde{u}_j \exp(-\nu\kappa^2 t)$$

$$\frac{d\tilde{u}_j}{dt} = P_{ij}\hat{G}_i \exp(\nu\kappa^2 t) = P_{ij}\tilde{G}_i \quad \text{NSG ist hier lediglich noch ODE}$$

Vorteile Lösung im Fourierraum:

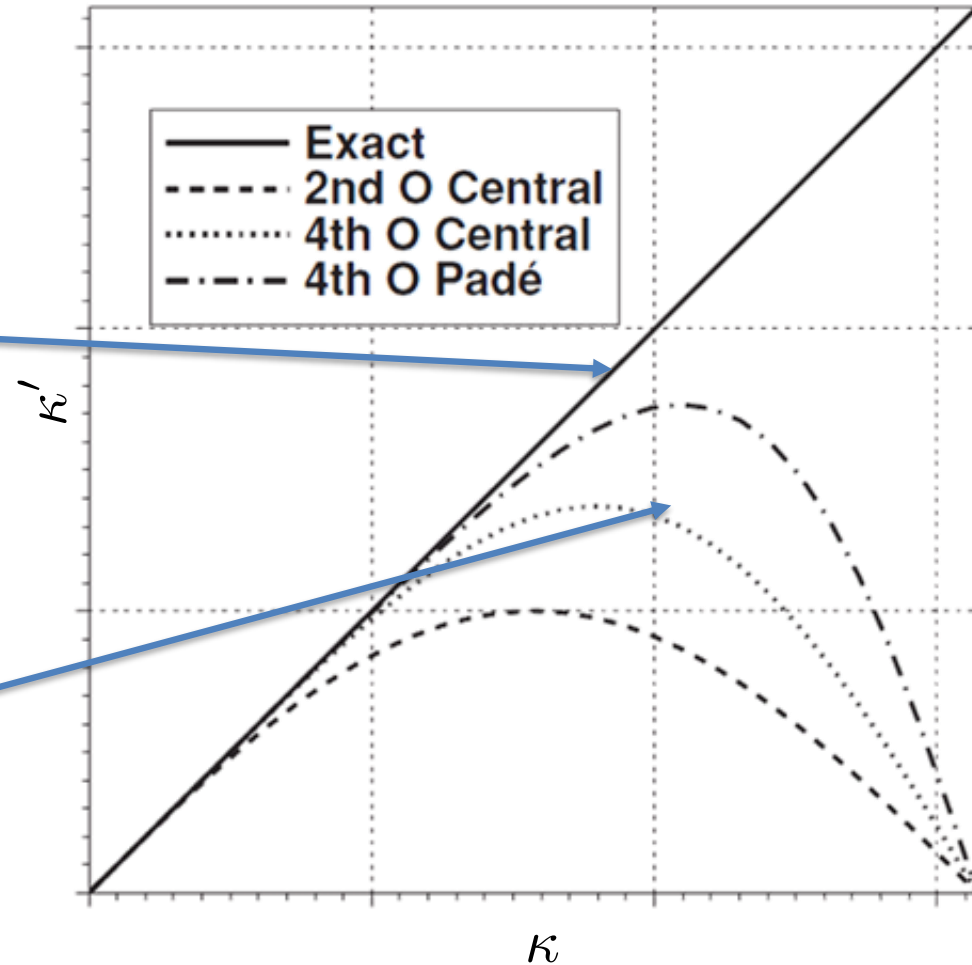
- ▶ Hohe Genauigkeit
- ▶ Kleine Strukturen fein aufgelöst, da auch hohe Wellenzahlen im Fourierraumgitter aufgelöst sind (Gitter verhalten sich in beiden Räumen äquivalent)

Nachteile:

- ▶ Großteil der Rechenzeit für Berechnung von \tilde{G}_j (Hin- Rücktransformation sowie Lösen im x -Raum)
- ▶ $N^3 \log(N)$ Operation pro Transformation
- ▶ Nur einfache Geometrien möglich

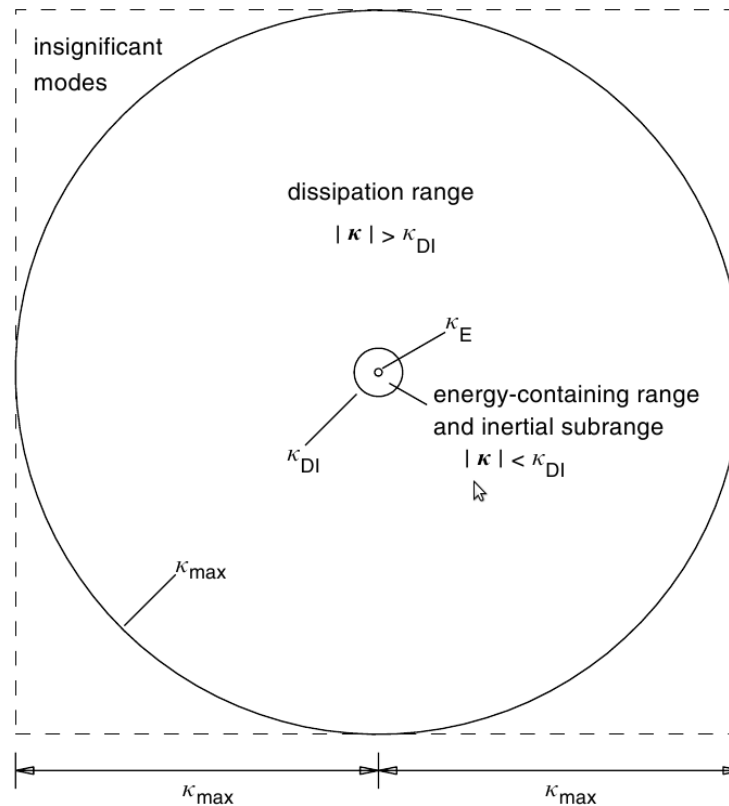
In fouriertransformierenden Lösern können auch große Wellenzahlen reproduziert werden (sofern im Fourierraumgitter aufgelöst).

In Standard CFD-Lösern können diese nicht erfasst werden; dargestellt für unterschiedliche räuml. Diskretisierungsschemata.

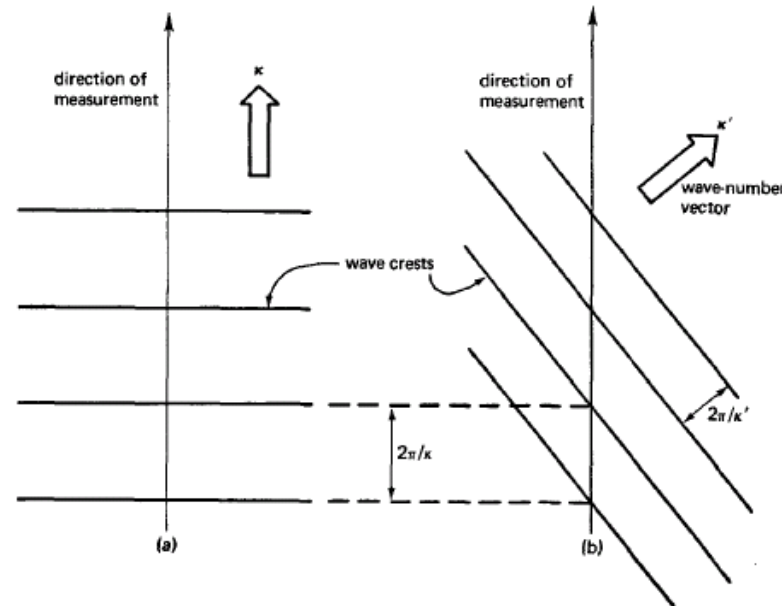


Die aufgelöste Wellenzahl κ' über κ für unterschiedliche räumliche Schemata.

- Motivation für LES
- Interpretation der Energiekaskade

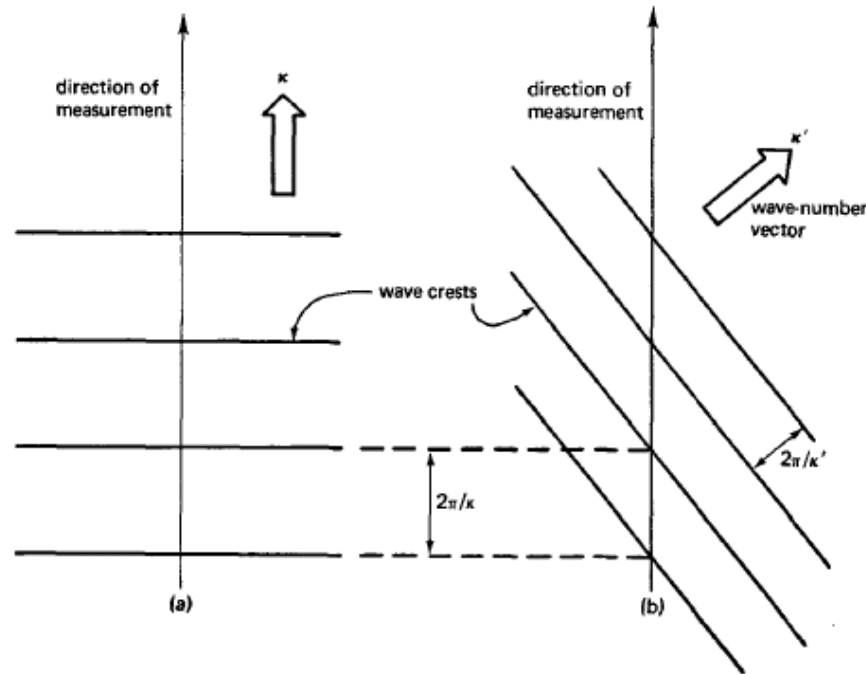


Ein grundsätzliches Problem bei der Analyse von exp. 1D Geschwindigkeitssignalen ist das sogenannte Aliasing. Hierbei werden höher frequente Anteile anderer Geschwindigkeits-komponenten dem zu untersuchenden Signal zugeschlagen.



→ Unsicherheiten bei der Interpretation von experimentellen 1D-Signalen!

- Fehler ist bei großen κ niedriger, da diese Wirbel in alle Raumrichtungen sehr ähnlich sind.



→ 3D Signale

- 3 κ sind allerdings „zu viel“ Information, nur Betrag interessant
→ 3D Kugeltransformation



- ▶ Fouriertransformationen in den unterschiedlichen Räumen sowie die Kugelintegration des Wellenzahlraumes verstanden haben
- ▶ die Terme der fouriertransformierten Navier-Stokes Gleichungen erläutern können
- ▶ die unterschiedlichen Turbulenzgrößen dem physikalischen und dem Fourierraum zuordnen können und verstanden haben
- ▶ das Energiespektrum im Wellenzahlraum grob erklären können
- ▶ die Vor- und Nachteile eines spektralen DNS-Lösers kennen